

Vysoká škola strojní a textilní v Liberci  
nositelka Řádu práce

Fakulta strojní

obor 23 - 21 - 8

stroje a zařízení pro chemický, potravinářský a spotřební průmysl

zaměření  
sklářské a keramické stroje

Katedra sklářských a keramických strojů

Tangenciální broušení lustrových ověsů

Vít Sekelský

Vedoucí práce:

Ing. Jaroslav Nosek, CSc.  
VŠST Liberec  
s. Medek  
k.p. ŽBS, Železný Brod

Konzultant:

Rozsah práce a příloh:

Počet stran	....	48
Počet příloh a tabulek	....	4
Počet obrázků	....	19
Počet výkresů	....	4
Počet modelů	....	0
nebo jiných příloh	....	0
DT 666. 1. 053. 52		

27. 5. 1983

Vysoká škola: **strojní a textilní** Fakulta: **strojní**  
Katedra: **sklář. a keram. strojů** Školní rok: **1982/83**

# **ZADÁNÍ DIPLOMOVÉ PRÁCE**

(PROJEKTU, UMĚleckého díla, UMĚleckého výkonu)

pro  
**Vítá Sekelského**  
obor  
**23-21-8**

Vedoucí katedry Vám ve smyslu nařízení vlády ČSSR č. 90/1980 Sb., o státních závěrečných zkouškách a státních rigorózních zkouškách, určuje tuto diplomovou práci:

Název tématu: **Modernizace mechanismu automatu brousicího  
válcového stroje.**

### **Zásady pro vypracování:**

V současné době mechanismus ovládající brousicí hřeben, ve kterém jsou uloženy výrobky, je ovládán automatem pomocí soustavy vaček s mechanickým pohonem. Nevýhodou tohoto systému je jeho robustnost, rozměrová náročnost a tím nemožnost vícehřebenového broušení lustrových ověsů.

Úkolem Vaší DP bude:

1. Provést rozbor současného ovládání brousicího hřebenu.
2. Navrhnut na základě rozboru koncepční řešení brousicího stroje s možností alespoň dvouhřebenového broušení.
3. V návrhu se zaměřit na snížení robustnosti a použití moderních prvků řízení a ovládání brousicího automatu.
4. Provést ekonomické zhodnocení.

Autorizaci práce se řídí směrniciemi MŠK pro státní úř. zkoušky č.j. 31/727/62 III/2 ze dne 16. července 1982 Věstník MÍSTKY, číslo 24 ze dne 31.8.1982 až 1983 č. 115/53 Sb.

**VYŠOKÁ ŠKOLA STROJNÍ A TEXTILNÍ**  
Ústřední výrobní a  
**LIBEREC I. STUDENTSKÁ 8**  
PSČ 461 19

Rozsah grafických prací: **cca 40 stran textu doložených příslušnými schématy, výpočty, grafy a výkresovou dokumentací.**

Rozsah průvodní zprávy:

Seznam odborné literatury: **Technická dokumentace automatu včetně brousicího stroje.**  
**Götz: Broušení a leštění skla SNTL 1963**

Vedoucí diplomové práce: **Ing. Jaroslav Nosek, CSc.**

Datum zadání diplomové práce: **8. 10. 1982**

Termín odevzdání diplomové práce: **27. 5. 1983**

L.S.

  
**Doc. Ing. Jaroslav Belda, CSc.**

Vedoucí katedry

  
**Doc. RNDr. Bohuslav Stříž, CSc.**

Dekan

v Liberci dne 8.10. 82

Místopřísežně prohlašuji, že jsem diplomovou práci vypracoval samostatně s použitím uvedené literatury.

V Liberci dne 27. 5. 1983.

## Obsah

Seznam použitých zkratkov a symbolů	5
Úvod	6
1. Strojní broušení skleněných kamenů	8
1.1. Teorie broušení	8
1.2. Tlak a rychlosť broušení	14
1.3. Rovinné broušení	15
1.4. Válcové broušení	17
2. Současný stav broušení lustrových ověsů	19
3. Navrhované řešení	21
4. Konstrukční řešení jednotlivých funkcí brousící jednotky	23
4.1. Tangenciální pohyb	23
4.1.1. Výpočet obrysu vačky	24
4.1.2. Výpočet silových poměrů na vačce	25
4.1.3. Výpočet tlačné pružiny	26
4.1.4. Návrh převodu ozubeným řemenem	27
4.2. Naklápení klopky - přítlač klopek	29
4.2.1. Hydraulický obvod pro přítlač klopek	30
4.2.2. Návrh H.O. pro přítlač klopek	32
4.3. Přetáčení facet. Uchycení aparátu	42
5. Ekonomické zhodnocení	44
6. Závěr	46
Seznam použité literatury	47
Seznam příloh	48

Seznam použitých zkrátek a symbolů.

$D_s$	... střední průměr závitu /mm/
$d$	... průměr drátu pružiny /mm/
$n$	... počet pružících závitů
$G$	... napětí ve smyku /MPa/
$y_9$	... modul pružnosti ve smyku /MPa/
$F_9$	... deformace pružiny /mm/
$M_k$	... síla /N/
$a$	... kroutící moment /Nm/
$t_B$	... osová vzdálenost /mm/
$z_r$	... rozteč řemene /mm/
$d_{rl}$	... počet zubů řemene
$d_{kl}$	... průměr roztečné kružnice /mm/
$d$	... průměr hlavové kružnice /mm/
$n$	... přídavek na průměr /mm/
$v$	... přídavek na malý počet zubů /mm/
$U$	... obvodová rychlosť /ms <sup>-1</sup> /
$z_z$	... obvodová síla /N/
$b$	... počet zabírajících zubů
$h_z$	... šířka řemene /mm/
$S$	... výška zubů řemene /mm/
H.O.	... součinitel druhu provozu
$Q$	... hydraulická obvod
	... průtočné množství

Úvod.

Počátkem 18. století se započalo s výrobou drobného broušeného skla. V této době se začalo rozšiřovat nošení šperků, které byly v původním provedení z drahých kovů s přírodními drahokamy. Právní českých vrstev, následně levnější drobné ozdobné předměty, poichytily podnikoví výrobci, kteří zavedli náhradku drahých šperků, tak zvanou bižuterii /bijou = šperky/.

Teké v Paříži se vyráběla imitace drahokamů ze skla s vysokým obsahem olova, které mělo vysoký index lomu. Tato skla se sice vyznačovala vnožnými optickými vlastnostmi, ale měla nízkou odolnost, takže vyleštěné plošky brzy "osleply".

U nás se začalo s kompoziční výrobou olovnaté skloviny jako suroviny pro náhražky pravých kamenů v Turnově, kolem roku 1920. Sklo zpracovávali tamní brusiči, kteří měli nedostatek přírodních polodrahokamů z místních nalezišť. Historické doklady ukazují, že se při výrobě turnovské kompozice uplatnily zkušenosti českých sklářů, kteří pracovali v severoitalských sklářských hutích.

Později, kdy se sklářské hutě přesunuly směrem na sever, rozšířila se výroba skleněných imitací do okolí Jablonce n. Nisou a Železného Brodu. Zde pak došlo k velkému rozmachu celého bižuterního průmyslu.

Téměř celá dvě století se brousilo a leštělo po domácku na primitivním dřevěném přípravku, z počátku po jednom, později maximálně po čtyřech kamenech. Začátky mechanizované výroby spadají až do období těsně před první světovou válkou. Hlavní rozmach produkce byl zaznamenán ve dvacátých letech tohoto století, kdy celosvětová požádatelství kamenech prudce vzrostla. Rozvoj výroby skleněných imitací probíhal paralelně s rozvojem celé bižuterní výroby, z níž se tak stalo ekonomicky významné průmyslové odvětví.

Do třídy drobných skleněných výrobků, zušlechtovaných broušením a leštěním, lze zahrnout tři hlavní

skupiny skleněných předmětů: bižuterní kameny, broušené perle a lustrové ověsy.

Jako bižuterní kameny označujeme skleněné imitace přírodních drahokamů, jež napodobují pravý šperkový kámen jak tvarem výbrusu, tak i barvou.

Broušené perle a přívěskové hrusky slouží k sestavování náhrdelníků, a to v nejrůznějších kombinacích s kovem, sklem a jinými hmotami.

Broušené a leštěné lustrové ověsy tvoří součást okrasných svítidel, tzv. křišťálových lustrů, zdobících klasicky zařízené společenské místnosti.

Společným znakem všech těchto výrobků je podobná výrobní technologie opracování, velké výrobní serie a krátké doby opracování.

Technologie broušení a leštění skla zasahuje do většiny výrobních oborů sklářské výroby. Její počíl na záležitosti skla, ať již pro účely technické nebo zdobení, lze odhadnout přibližně na 15 - 20 % objemu sklářské výroby. Aplikace v jednotlivých oborech je při tom velmi rozmanitá a vyžaduje specializované studium.

V souvislosti s rychlým technickým rozvojem sklářského průmyslu byly položeny základy k vědeckému poznání procesů broušení a leštění. Tak se získaly závislosti hlavních technologických parametrů broušení skla při zdobení užitkového skla a byla stanovena optimální technologie hromadného broušení a leštění bižuterních výrobků.

Při mechanizaci obrábění bižuterních kamenů muselo být překonáno mnoho technických problémů. Jedním z nich, poloautomatickým zařízením na broušení lustrových ověsi - - hleviček o výkonu dvojnásobně vyšším, než doposud používané zařízení se zabývá i tento úkol.

## 1. Strojní broušení skleněných kamenů a brousící stroje.

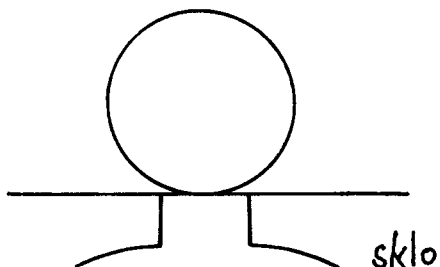
### 1.1. Teorie broušení.

Při broušení se opracovává dané sklo současně nesčetným množstvím jednotlivých mikroskopických nástrojů - brousicích zrn. Tato okolnost zaručuje na jiné straně rychlý a rovnoměrný průběh obráběcího procesu, na druhé straně však znemožňuje zkoumání podstaty a principu broušeního mechanismu brusného děje.

Prvním elementárním dějem je statický účinek tvrdé koule, působící pod tlakem na hladký povrch skla. Tlak - li se na leštěný povrch koule tvrdá ocelová kulička, vzniká na skle měsíčkovitá trhlinka, která směřuje do hloubky a kuželovitě se rozšiřuje /obr. 1/. Po zvětšení tlaku se vytvoří dotykový kroužek, až při určitém tlaku se sklo v blízkosti dotykové oblasti láme.

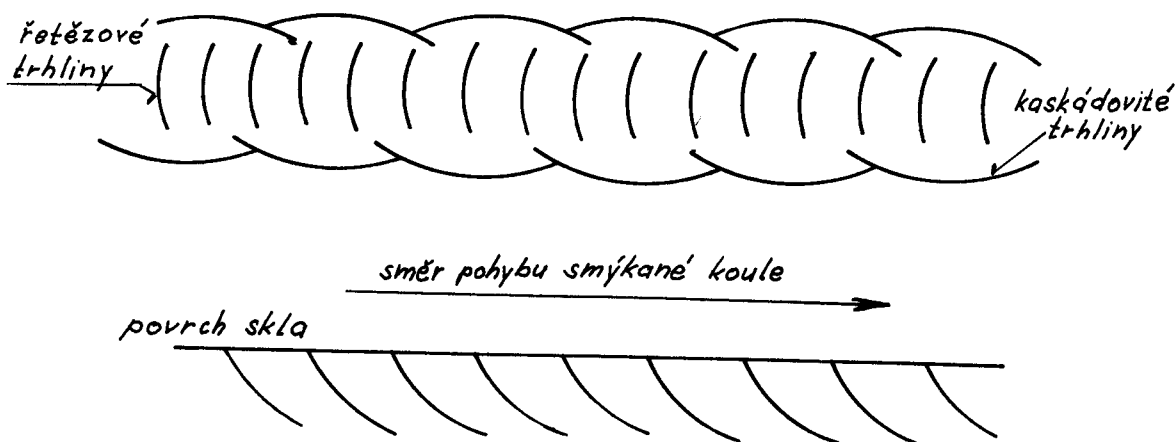
Poněkud jinak působí zatížená koule, pohybuje - li se po povrchu skla smykem. Tento pohyb vykonává např. rýpací jehla. Hrot jehly má určitý nepatrný poloměr, takže tvoří vlastně polokouli. Je - li tlak na kouli dostatečně velký, vznikají ve skle trhlinky ve formě nedokonale hyperbolických ploch vnikajících do hloubky skla. Tyto tzv. "řetězové trhlinky" bývají provázeny trhlinami kaskádovitě uspořádanými po obou stranách středních řetězových trhlin /obr. č. 2/.

Někdy se kaskádovité trhlinky vůbec nevytváří, jindy vznikají naopak kaskády bez středních řetězových trhlin. Oblouky řetězů jsou obráceny konkávní stranou ke směru pohybu. Šířka vrypu dané koule nemůže ležet pod určitou kritickou mezí. Ta se prakticky rovná průměru počátečního trhlinkového kruhu při klidovém zatížení koule bez



Obr. 1. Statický účinek tvrdé koule na povrch skla.

posunu. Zvýšením přitlačné síly se zvětší šířka vrypu velmi nepatrně, mnohem vícem se zmenší vzdálenost mezi rýhami.



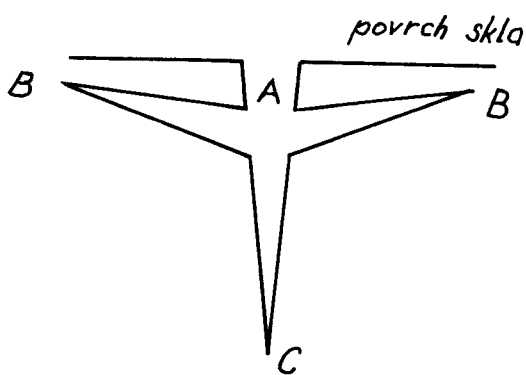
Obr. 2. Kaskádové a řetězové trhlinky.

Při další kritické hranici tlaku je vzájemná vzdálenost mezi jednotlivými oblouky řetězu relativně veliká a tvar kaskádových trhlinek je vždy přímec. Zvýšením tlaku se mezioblouková vzdálenost zmenšuje a kaskádové trhlinky se zakrývají. Při dalším zvýšení tlaku na kouli se sklo začíná odštěpovat a lámat a typický tvar rýhy zcela zmizí.

Opět jiný je charakter rýhy vznikající při závažení zatížené koule na hladkém povrchu skla. I zde se tvoří řada řetězových trhlin, ale oblouky jsou obráceny opačným směrem, konkávní stranou ve směru, odkud koule přichází. Je-li tlak značně větší než kritický, vytvářejí se pojednáne trhlinky, které vnikají do skla vurui-kálně. Kaskádové trhlinky bývají méně vývinou až do okamžiku, když je lze spatřit téměř po napravení povrchu.

Jetřetí jiný typ elementárního děje počítá s jeho roztroušením skle lze znázornit modelovým řezem skla dianantovým brotem (obr. 3.). Od řezací dráhy dianantu se povrchu skla A se šíří dvě podpovrchové trhlinky AB a jedna střední trhline AC, které zmenšují pevnost řezaného skla o umož-

ňují jeho zlomení podle řezu.



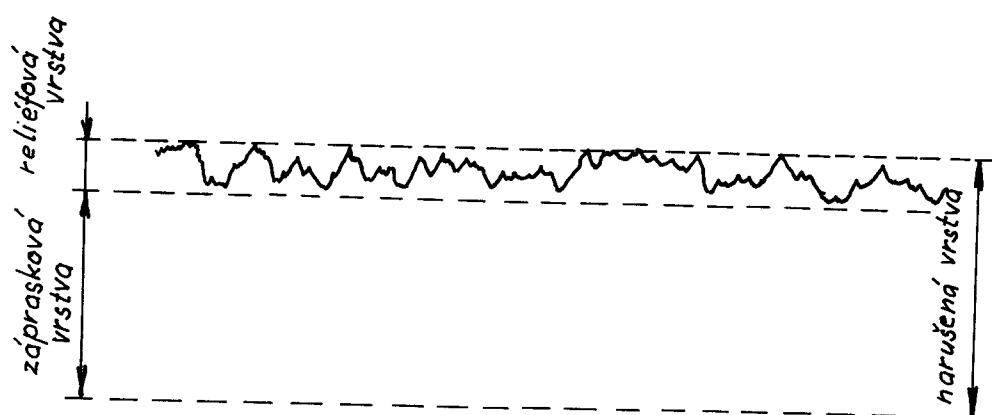
Obr. 3. Schéma narušení skla řezným diamantem.

Všechny tyto elementární děje se odehrávají při broušení skla volnými brousicími zrny. Z nespočetného množství jednotlivých zrn pohybujících se přes povrch skla se část odvaluje jiná zrna jsou fixována v polkladové desce nebo tlakem nакupených sousedních zrn a sunou se přes povrch smyku. Ostrá zrna se řežou podobně, jako diamantový hrot. Zábolelé částečky působí jako ocelová koule. Toto kinetické i statické působení brousicích častic probíhá současně ve všech základních formách a vytváří v místě broušení soustavu povrchových a podpovrchových poškození, která narušují soudržnost skla. Další brousicí zrna snímají z takto narušeného skla drobné úlomky a odštěpky a vytvářejí tím charakteristický matový povrch skla. Brusivo působí tedy zároveň ve dvou směrech. Jedinak mechanicky narušuje povrch i podpovrchové vrstvy skla a snižuje tak jajich soudržnost, jedná se o hrátky skla a vznikajíce povrchové úlomky jsou vlněny. Mikroskopický zákonitý broušecílný hrot je jednotlivější a vlnější, jeho vlny zanášené na povrch vytvářejí pod povrchem vlny vlnitého skla. Na povrchu vznikají výběžky a jamky tvořící relief povrchu, poi nimi se rozprostírají trhliny a záprasky, směřující do hlcubky skelné hmoty.

Z uvedeného je zřejmé, že působení brusiva se upozneuje pouze na vlastní povrchu, ale že zasahuje i do hlcubky skelné hmoty. Při broušení se tedy vlníkovitý relief povrchu vlnitě vyvýší i polpovrchové vrstvy, jehož průsek je vlnitý, mimo jiné i poprvé v historii.

Jak v reliéfu, tak i v povrchové vrstvě je souhrnnost skla narušena, a proto se někdy označuje též vrstva souhrnně, jako "narušená vrstva" (obr. 4.).

Při broušení volným brusivem se uplatňuje to broušicí zrna, která jsou mezi opracovávaným sklem a broušicím nástrojem. Rozdílná rychlosť otáčení skla a brusu je uváděna do nutného pohybu a žene je přes obrúšované sklo. Při tom se nekterá zrna přivalují a vytvářejí vibrační rýhy, jiná zase jsou po skle snytíny. Průcházejí sklem a broušicí zrnami. Tento plán je všechno jen o velikosti, kterou je možno vytvářet. Je-li sklo, tak i broušení je výkonem, když je využíván pěnovější tlak z poikladového kruhu přistlačeného na opracovávané sklo.

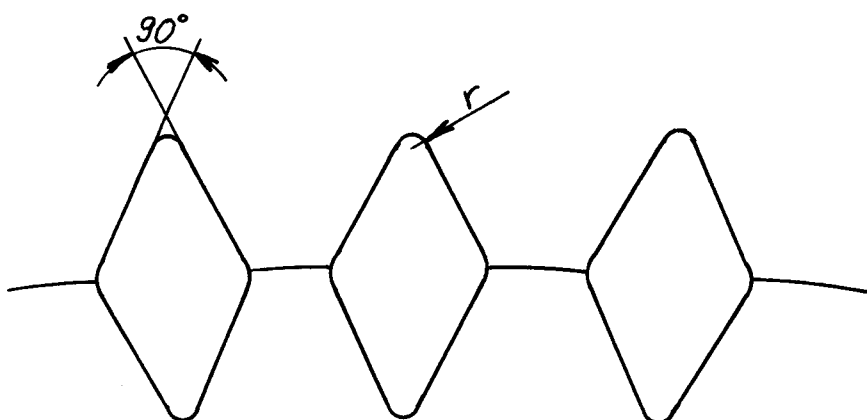


Obr. 4. Povrchový reliéf a podpovrchový namuští broušeného skla.

Když je větší tlak použit, může broušení vést k povrchovému namuští. Vzorky skla, které byly broušeny vysokým tlakem, broušicí zrnem, rozptýlily menší částice, které byly nepřenáležitě zatíženy a pohybují se proto velmi a bez broušení. Účinku mali vlivy na pravovní tlak. Závislost tlaku na pravovní paralelně s procesem broušení a jeho intenzitou závisí zejména na kvalitě brusiva a na používaném tlaku.

Brousicí nástroj přitlačuje zrna brusiva k ohřívávanému sklu. Dolehná na sklo bude snore, jako při broušení plochého skla, a nebo tvoří podklad, jako při roviném broušení optického skla. Vlastnosti nástroje, především jeho tvrdost, mají velký vliv na průběh a konečný efekt brousicího dílo.

Při broušení vázaným brusivem se pracuje s brousicími nástroji vzniklými spojením velkého množství brousicích čistic. Ať jde o páru, vlnu, řetězec, vlnu s řetězem, vlnu s řetězem s kružnicí, vlnu s řetězem s kružnicí s kružnicí, ježichž řezné hrany se dostávají do styku s opracovávaným sklem. Brousicí zrno má velkou napříkladitelnou množství, jehož vlivem část výrobitkového procesu je zlepšení povrchových kvalit až výrazně.



Obraz. 5. Brousicí zrno na základu vázaného brousicího nástroje.

Vronskový úhel tohoto ježilku se obvykle blíží  $90^\circ$ , jinak vznikají vznětelné nebezpečnosti, když, například v průmyslovém stroji, vlna s řetězem s kružnicí se vloží do řetězového rozvadu. V tomto případě vznikne výbuch, který může způsobit výtržek řetěze, jehož konce mohou způsobit zranění. Vzhledem k vysokému broušení. Při výrobení výrobků je třeba vždy, aby brousicí zrno z odpadu brousicích čistic bylo odstraněno. Při práci s takovýmto násprukem převídáme, že náspruka je vystavena výbuchu, který může způsobit zranění. Takové broušení je využito k výrobně některých měkkých materiálů.

brousicích nástrojům, často včleněná zrno jsou po skle  
smýkána a zanechávají na něm relativně menší poškození.  
Nejdále časté je odvalování brousicích zrn. Dochází  
k němu pouze tehdy, když se některé zrno uvolňuje z po-  
vrchu nástroje.

Povrch opracovaný volným brusivem je stejnoměrně drsný, zatímco sklo broušené vázaným kotoučem nese zřetelné stopy opracování, jdoucí jedním směrem. Drsnost tohoto povrchu není ve všech směrech stejná. Ve směru opracování je menší než kolmo na tento směr.

Vázané brusivo se liší od volného brousicího prášku také tím, že jeho brousicí účinnost není stále stejná. Nejlépe brousí vázaný nástroj tehdy, má-li drsný pracovní povrch. V tom případě převládá totiž řezný účinek ostrých zrn a snímání skla probíhá velmi rachle. Brousicí zrna se ale v průběhu broušení ctupují, povrchová drsnost nástroje se snižuje a zacblené brousicí částice se pohybují po skle převážně smykem. Takovýto tupý nástroj je méně účinný a snímá sklo daleko pomaleji.

Toto snižování brousicí účinnosti vázaného nástroje probíhá víc rychleji, než je povídáno jsem. Jde o základní principy, které jsou využívány v mnoha aplikacích. Významnou roli hraje i fakt, že se jedná o výrobek, který je výrobkem s vysokou hodnotou. Tento výrobek je využíván v mnoha aplikacích, a to nejen v oblasti strojů a strojů.

Na každou řeč k představujícímu se vlastnosti zde jsem vložil  
jednu vlastnost, kterou mohu sám vysvětlit. Tímto způsobem  
získáme dvojdílnou metateorie, tedy jednu, využívající  
druhou, tedy využívající vlastnosti, funkce. Ostatně je  
také možné využít i vlastnosti, funkce. Ostatně je  
možné využít i vlastnosti, funkce. Ostatně je

Při vysílení mikroskopického skla je tato vlastnost významná, protože voda mívá vliv na jeho pevnost. Voda ovlivňuje mechanickou pevnost ořízlacovacího skla. Voda vniká do mikroskopického prostředí trhlin a záprasků a způsobuje tam hydrolytické bobhnání, které napomáhá snazšímu vydrolování úlomků skla. Kromě toho se vytváří v defektních místech narušená vrstva působením molekulárních sil tenký kapalinový film, jenž má jiné vlastnosti než původní kapalina. Vykazuje zejména velikou pružnost a přibližuje se tím vlastnostem pevných látek. Tato tak zvaná solvátová vrstva způsobuje rozevírání mikroskopických štěrbin a urychluje tak dispergaci skla.

Z uvedeného vyplývá, že používání vody jako broušicí kapaliny je při broušení skla plně oprávněné, neboť voda, kromě svého mechanického působení snižuje i pevnost narušené vrstvy a napomáhá tím úběru skla.

## 1.2. Tlak a rychlosť broušenia.

Z technologických parametrů ovlivňuje obrus skla a jakost výbrusu zejména tlak a rychlosť broušení, pri práci s volným brusivom ještě koncentrácia a množstvý broušiaci suspensions a materiál polikloroviny.

காலத்திலே குறிப்பிட்டு வரும் சம்பந்தமாக அதை விரிவாக விவரிதிப்பது முன் கூறுவது என்று சொல்லப்படுகிறது.

Dejde-li mít v náležitosti uvedeného tlaku sklo s leštěním broušení, závisí zejména na konstrukci brusky. Na individuálních strojích pro opracování plochého skla, probíhá proces broušení normálně až do tlaku 70 000 až 80 000 N/m. Při větším tlaku je ztížen přívod brusiva mezi sklo a brousicí nástroj a účinnost broušení skla klesá. Na malých brousicích kotoučích, používaných zejména při opracování optického skla, je možno pracovat s vyšším tlakem. Při vhodně vyřešeném přívodu brusiva dokonce i s tlaky kolem 500 000 N/m. Na velkých konvejerech pro broušení a leštění plochého skla leží maximální brusné tlaky v rozmezí od 20 000 - 30 000 N/m.

Příčina zvýšeného obrusu při práci s vyššími tlaky je v tom, že se vlivem deformace nástroje zvyšuje počet účinných zrn, působících na jednotku plochy skla.

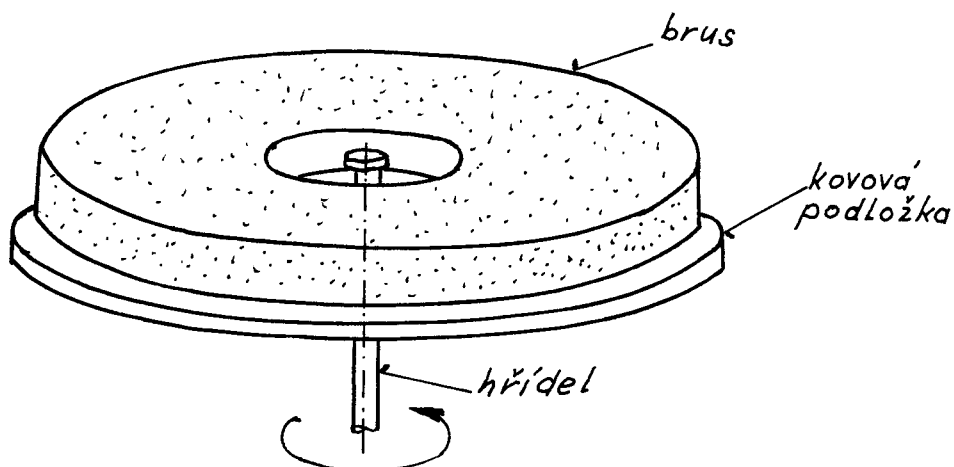
Také při zvýšení rychlosti broušení je nutno zvětšit přívod brusiva na optimální množství, aby se zvýšil obrus skla podle přímkové závislosti. Hornímez použitelných rychlostí je dle konstrukcí zařízení a způsobem dávkování. Z bezpečnostních důvodů nelze překročit maximální přípustné rychlosti strojů, které jsou určeny pro broušení a leštění skla. Tyto rychlosti jsou uvedeny v tabulce 1. Výše uvedené rychlosti jsou však výsledkem vývoje a výroby a nejsou vždy výplňou výrobcům poskytovaných rychlostí.

#### Brusný nástroj

Brusný nástroj je v opačné konstrukci než je broušec. Brusný nástroj má kruhový kamenec, obhotovený z přírodního kamene, pískovce. Brusený nástroj je upsvunut na jeho deli, na něj se otáčí v brousicím stroji; je zhotoven večku a usazena na kovové podložce (obr. 6).

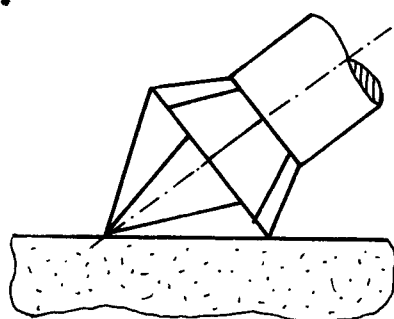
Klopky s brousicími aparáty jsou umístěny radiálně po obvodu. Do řezu jsou přitlačovány pružinou a kompenzují ještě oscilační pohyb. Tímto pohybem se zamezuje vymletí drážek v brusném nástroji. Výhoda rovinného broušení

spočívá v tom, že broušené plochy kamení jsou rovinné /chr. 7/. Nevýhodou však je, že broušicí nástroj se neopotřebovává po celé ploše stejně.



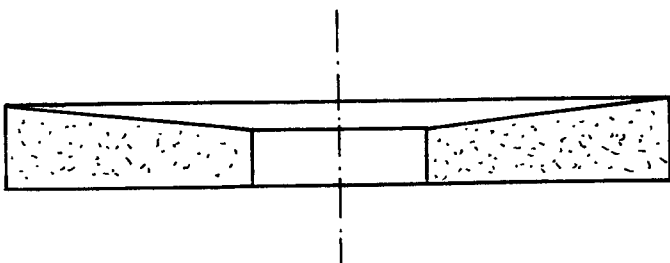
Obr. 6. Nástroj pro rovinné broušení.

Více se opotřebovává na vnitřní straně vlivem menšího brousicího obvodu. Vytváří tak kuželovou plochu (obr. 8). Z toho důvodu se musí velmi často orovnávat, z čehož plyne velké opotřebování nástroje. Vlivem této vlastnosti kuželové brousicí plochy jsou i vyráběné kameny různě veliké.



### Obr. 7. Revinné broušení.

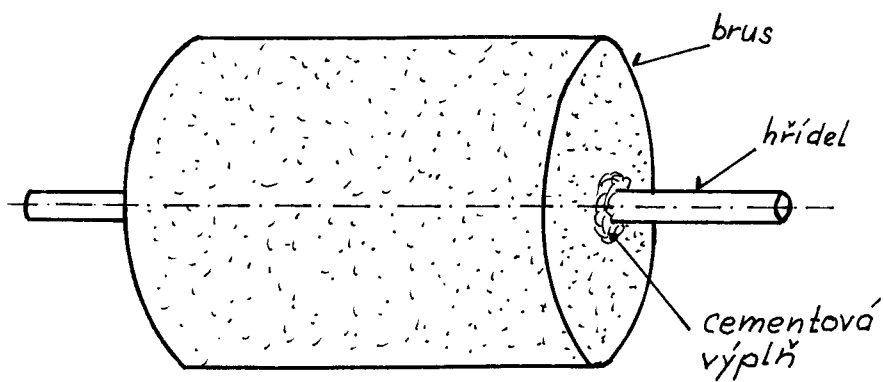
Největší jsou u vnitřního obvodu a nejménší u vnějšího obvodu. Kvalita výrobku je stejná, ale rozdíly při srovnání povolenou toleranci. Práce na výrobkách může být významně ovlivněna kvalitou materiálu, kterým je výrobek vytvořen.



Obr. 8. Čtyřdílný hřídelový hřeben.

#### Náčiní pro výlazové broušení

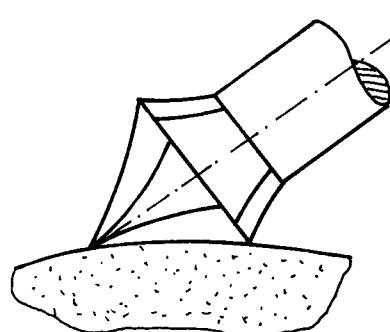
Pro výlazové broušení se jako nástroje používají výlazové hřebny. Výlece mají průměr 600 - 900 mm a délku 400 - 680 mm. Rozměry závisí na typu stroje. Je upínán na hřídeli, na něj se v brusnicím stroji otáčí. Upevněn na hřídel může být dvěma způsoby. Buď se dutina mezi nástrojem a hřídelí zaleje cementem (obr. 9),



Obr. 9. Náčiní pro výlazové broušení.

nebo, což je častější a účlečejší, je usazení brusu provedeno pomocí náboje a dvou přírub se ztahouvacími šrouby.

Brousicí aparáty jsou umístěny po obvodu rovnoběžně s osou brusu. Do záběru jsou taženy dvěma pružinami, umístěnými po stranách stroje. Oscilační pohyb zde vykonává buď brousicí aparát nebo brus. Nerevnost brusu způsobuje různé deformace tvaru výrobku. Při erovnění brusu se používá karborundový nebo diamantový hrot. Protože válec má určitý poloměr, tak se tato zaoblení projeví i na výrobku. (obr. 10). To má sice vliv na optické vlastnosti kamene, ale větší problém

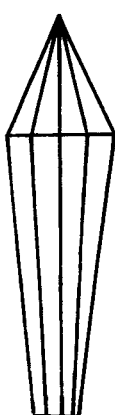


Obr. 10. Válcový broušec  
Sekce.

je při leštění. Protože brus mění svůj průměr vlivem opotřebení rychleji jak leštítka, mohou vznikat při leštění nedoleštěné plochy.

2. Současný stav broušení lustrových ověsů.

V koncernovém podniku ŽBS v závodě Líšný se brousí lustrové ověsy ve tvaru šípu dle obr. 11.



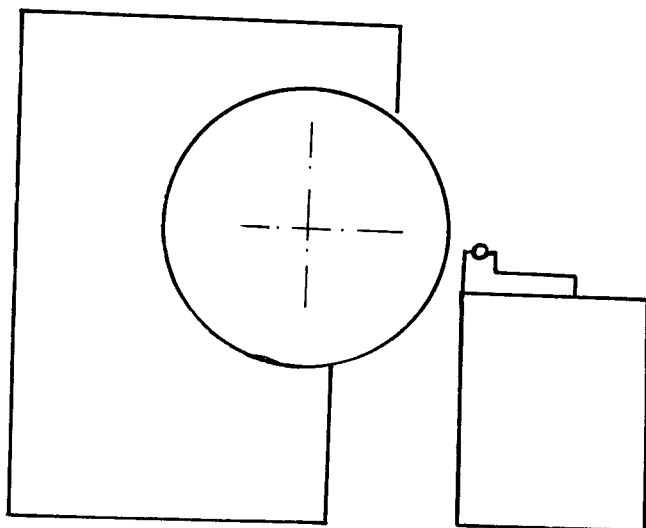
Obr. 11. Lustrový ověs.

Broušení se provádí ve dvou operacích na dvou typech brousících poloautomatů. V první operaci se brousí spodky ověsů, ve druhé operaci se brousí vršky / hlavičky/ ověsů. Brousící poloautomat je přiřazen k brusu, který tvoří samostatný celek /obr. 12/. Samotný brusný válec je pískovcový o průměru 1150 mm a je zbrušován až na 850 - 800 mm, kdy je demontován a vyměněn. Obroušený brusný válec se pak ještě dále používá ne leštění kamenů.

Brousící poloautomat je poháněn elektromotorem přes šnekovou převodovou skříň. Vazby umožňující konečné funkce poloautomatů jsou čistě mechanické. Jsou zprostředkovány systémem pák, vaček a zarážek, které vzhledem k daným silovým poměrům jsou dosti robustní a prostorově náročné. Tato robustnost se odrazila také v zastavujících rozměrech poloautomatu, které jsou 1110x560x650 mm.

Celý tento systém je vzhledem k náročné konstrukci značně složitý. Řada táhel a soupáčí si vynutila mnoho korigovatelných prvků, což se velice nepříjemně projevuje na seřízení stroje, které samo o sobě je komplikované a časově náročné.

Obtížnost seřízení se potom také projevuje ve zhoršené kvalitě obroušených lustrových ověsů. Dovolené procento zmetkovitosti u tohoto brousícího poloautomatu je 12 %, což je poměrně vysoká hodnota i když se v ní částečně odráží také kvalita základní suroviny.

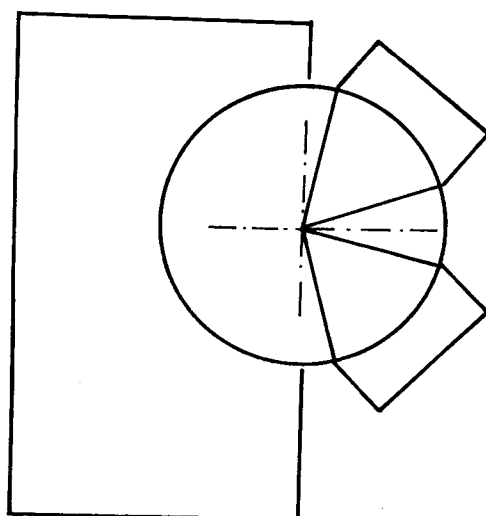


Obr. 12. Brousící poloautomat.

### 3. Navrhované řešení.

Požadavek na tuto diplomovou práci byl vypracovat návrh řešení, které by umožňovalo minimální osazení dvěma aparáty a pohon byl zprostředkován hydraulickými prvky. Vzhledem k současným způsobům broušení bižuterních kamenů a zvláště pak lustrových ověsů jsem se rozhodl pro změnu celkové stávající koncepce stroje, která s přihlédnutím ke složitosti vykonávaných funkcí nemůže tento požadavek splnit.

Navrhované řešení předpokládá odstranění současných brousících poloautomatů a jejich nahrazení samostatnými jednotkami, které jsou připevněny k rámu brusu / obr. 13/. Toto řešení dále předpokládá částečné odkrytování stávajícího brusu. Možnost víceparátového broušení lustrových ověsů je potom určena velikostí kruhové výseče potřebné pro upevnění brousící jednotky k brusu.



Obr. 13. Schéma navrhovaného řešení.

Samostatné jednotky jsou konstrukčně řešeny tak, aby vykonávaly všechny potřebné funkce. Řešení vychází z konstrukce brousícího aparátu tak, jak je uvedeno ve výzkumné zprávě: 81 - 10 - 00 Modernizace leštění a broušení lustrových ověsů z koncernového podniku ŽBS v Železném Broudě.

Vlastní broušení a vykonávání pohybů jednotkou je řízeno z bloku logických operací. Blok logických operací by mohl sestávat například z mikroprocesorů, jeho řešení však nebylo tématem této diplomové práce, a proto se jím dále nezabývám.

#### 4. Konstrukční řešení jednotlivých funkcí brousící jednotky.

Brousící jednotka stejně jako brousící poloautomat vykonává čtyři základní funkce:  
tangenciální pohyb  
naklápění aparátu do a ze záběru  
přetáčení facet  
uchycení aparátu

Tyto funkce jsou nezbytné pro broušení lustrových ověsů -  
- spodků.

##### 4.1. Tangenciální pohyb.

Tangenciální pohyb aparátu vzhledem k axiální ose válcového brusu je nutný u broušení dlouhých ploch. Bez tohoto pohybu by totiž docházelo ke kopírování poloměru brousu do facety a tím k znehodnocení broušených ověsů. Na tangenciální pohyb aparátu jsou kladený dva základní požadavky. První je požadavek na minimální dobu stání aparátu v dolní a horní poloze, aby nedocházelo ke vbrušování "žlábků" do facety. Druhý je požadavek na konstantní rychlosť zdvihu aby se neměnily technologické podmínky při broušení.

Tangenciální pohyb aparátu u současného brousícího poloautomatu je zpřostředkován excentrickým kotoučem. Velikost exentricity je měnitelná a tím se mění zároveň velikost zdvihu podle sortimentu broušených ověsů. Toto řešení sice splňuje podmínu minimální doby, kdy je zdvih nulový, tj. v horní a dolní poloze, ale má značnou nevýhodu v tom, že nesplňuje požadavek na konstantní rychlosť zdvihu. Vzhledem k tomu dochází k proměnným podmínkám broušení, čož může mít za následek zhoršenou kvalitu ověsů.

Navrhované řešení vychází ze splnění obou těchto podmínek. Excentrický kotouč je zde nahrazen vačkou, jejíž obrys splňuje obě podmínky.

#### 4.1.1. Výpočet obrysu vačky.

Pro požadovanou vačku platí tato zdvihofá závislost:

$$y = h / -\frac{\psi}{\alpha} /$$

Z první derivace této zdvihofé závislosti vyplývá, že rychlosť zdvihu v závislosti na pootočení vačky je konstantní.

$$v = \frac{dy}{d\psi} = \frac{h}{\alpha} \omega = \text{konst.}$$

$$a = \frac{dv}{dt} = 0$$

Úhel pootočení vačky se pohybuje v intervalu:

$$\psi = / 0; \alpha / = / 0; 180 /$$

Požadovaný celkový zdvih:  $h = 70 \text{ mm}$

Polomér základní kružnice:  $r_z = 30 \text{ mm}$

Polomér obrysu vačky v závislosti na úhlu pootočení:  $R = r_z + y$

Tabulka vypočtených hodnot:

$\psi$	0	5	10	15	20	25	30	35	40	45	50
y	0	1,9	3,9	5,8	7,8	9,7	11,7	13,6	15,6	17,5	19,4
R	30	31,9	33,9	35,8	37,8	39,7	41,7	43,6	45,6	47,5	49,4
$\psi$	55	60	65	70	75	80	85	90	95	100	105
y	21,4	23,3	25,3	27,2	29,2	31,1	33,1	35	36,9	38,9	40,8
R	51,4	53,3	55,3	57,2	59,2	61,1	63,1	65	66,9	68,9	70,8
$\psi$	110	115	120	125	130	135	140	145	150	155	160
y	42,8	44,7	46,7	48,6	50,6	52,5	54,4	56,4	58,3	60,3	62,2
R	72,8	74,7	76,7	78,6	80,6	82,5	84,4	86,4	88,3	90,3	92,2
$\psi$	165	170	175	180							
y	64,2	66,1	68,1	70							
R	94,2	96,1	98,1	100							

#### 4.1.2. Výpočet silových poměrů na vačce.

Pro určení pohonu vačky je potřeba znát silové poměry na ni působící. Z výslednice silového působení a z maximálního ramene, které této výslednici sil přísluší vzhledem k ose otáčení vačky, a které je závislé na úhlu pootočení vačky, pak vypočítáme potřebný kroutící moment na hřídeli vaček.

Silové poměry na vačce:

$$\text{Normálná síla} \dots N = 300 \text{ N}$$

$$\text{tečná síla} \dots T$$

$$\text{součinitel tření} \dots f_B = 0,78$$

$$\text{výsledná síla od brusu} \dots F_B$$

$$\text{síla tíže} \dots G = 300 \text{ N}$$

$$\text{síla pružiny} \dots F_P = 60 \text{ N}$$

$$\text{třecí síla od objímky} \dots F_0$$

$$\text{výslednice sil} \dots F_V$$

$$\text{součinitel tření v objímce} \dots f_0 = 0,15$$

$$T = N \cdot f = 234 \text{ N}$$

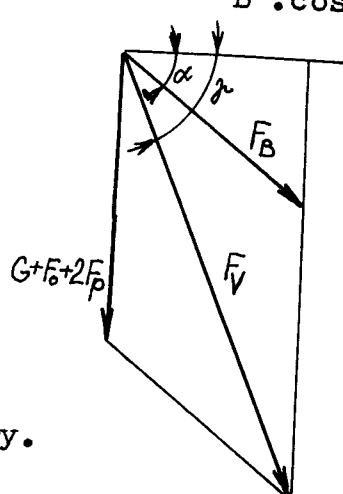
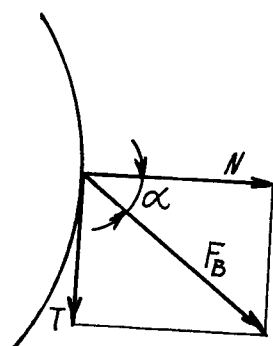
$$\tan \alpha = \frac{T}{N} \Rightarrow \alpha = 38^\circ$$

$$\cos \alpha = \frac{N}{F_B} \Rightarrow F_B = \frac{N}{\cos \alpha} = 380,7 \text{ N}$$

$$F_0 = N \cdot f_0 = 45 \text{ N}$$

$$F_0 + G + 2F_P = 465 \text{ N}$$

$$F_V = \sqrt{(G + F_0 + 2F_P + F_B \cdot \sin \alpha)^2 + (F_B \cdot \cos \alpha)^2} = 761 \text{ N}$$



Obr. 14. Silové poměry.

Kroutící moment:

$$F_B \cos \alpha = F_V \cos \beta \Rightarrow \cos \beta = \frac{F_B \cos \alpha}{F_V}$$

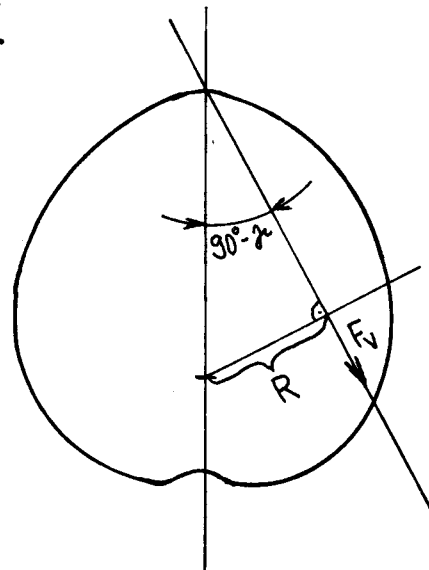
$$\beta = 66^\circ 50'$$

$$M_K = F_V \cdot R = 29,679 \text{ Nm}$$

kde  $R$  je rameno výslednice

$$R = 39 \text{ mm}$$

Tomuto kroutícímu momentu odpovídá hydromotor MRAK 6-16-3.



Obr. 15. Určení ramene výslednice

#### 4.1.3. Výpočet tlačné pružiny.

Při kopírování vaček kladičkami, které jsou součástí rámů vodících objímek by mohlo dojít k odskoku kladiček. Tomu zamezí tlačné pružiny, které přitlačují kladičky k vačkám.

$$F_9 = 60 \text{ N}$$

$$D_s = 24 \text{ mm}$$

materiál 13251

$$G = 83.000 \text{ N/mm}^2$$

$$\tilde{\epsilon}_K = 980 \text{ N/mm}^2$$

$$\tilde{\tau}_{Dov_K} = 588 \text{ N/mm}^2$$

Předběžně volíme  $d = 2 \text{ mm}$

$$\frac{D_s}{d} = 12$$

$$d = \sqrt[3]{\frac{8F_9 \cdot D_s \cdot \varphi}{\pi \cdot \tilde{\tau}_{Dov_K}}} = 1,912 \text{ mm} - \text{což vyhovuje}$$

Počet závitů

$$n = \frac{y_9 \cdot G \cdot d^4}{8 \cdot F_9 \cdot D_s^3} = 14 \text{ závitů}$$

#### 4.1.4. Návrh převodu ozubeným řemenem.

Potřebný kroutící moment na hřídeli vaček je přenášen od hydromotoru MRAK 6-16-3 prostřednictvím převodu ozubeným řemenem. Ozubené řemeny zaručují s vysokou účinností přenos kroutícího momentu při splnění všech požadavků kladených na konstrukci:

- zaručují bezprokluzový převod
- nevyžadují předpětí a tím snižují namáhání ložisek
- nevyžadují dopínání během provozu
- umožňují přenášet značné výkony při malých náročích na prostor a při malé vlastní váze
- převody ozubenými řemeny mají klidný chod a při normálních obvodových rychlostech pracují bezhlubně
- nevyžadují mazání
- záběr více zubů řemene a kola vylučuje vůli v převodu

přenášený kroutící moment  $M_k = 35 \text{ Nm}$

osová vzdálenost  $a = 150 \text{ mm}$

maximální průměr řemenic  $d = 60 \text{ mm}$

otáčky řemenic  $n = 20 \text{ ot/min}$

převodový poměr  $i = 1$

Volba řemene

$t_B = 8 \text{ mm}$  průměr lanka  $0,3 \text{ mm}$

počet zubů řemenic  $z_1 = z_2 = 18$

Osová vzdálenost

$$150 : 8 = 18,75 \quad z_2 - z_1 = 0$$

$$z_r - z_1 = 38 \quad z_r = 38 + 18 = 56$$

$$\text{Řemen } 272\ 213\ 0\ 13 \quad z_r = 53 \quad t_B = 7,981$$

Konečná osová vzdálenost

$$a = 19,000 \cdot 7,981 = 151,639 \text{ mm}$$

Řemenice

$$d_{rl} = d_{r2} = m \cdot z_1 + \sigma_d = 45,827 \text{ mm} \quad m = 2,5404 \\ \sigma_d = 0,1 \text{ mm}$$

$$d_{kl} = d_{k2} = d_{rl} - 2u + \sigma_n = 44,027 \text{ mm} \quad \sigma_n = 0,1 \text{ mm} \\ u = 0,95 \text{ mm}$$

$$d_p = d_{kl} + 5e = 55,027 \text{ mm} \quad e = 2,2$$

Šířka řemene

$$v = \omega \frac{d_r}{2} = 47,98 \text{ m/s} \dots p = 42, \text{ MPa}$$

$$U = \frac{20 \cdot M_k}{d_k} = 158,99 \text{ N}$$

$$\sin \alpha = \frac{d_{r2} - d_{rl}}{2a} = 0 \dots \beta = 180^\circ$$

$$z_z = \frac{z_1 \cdot \beta}{360^\circ} = 9$$

$$b = \frac{100 \cdot U}{z_z \cdot p \cdot h_z} \cdot S = 25,704 \text{ mm} \quad h_z = 1,8 \text{ mm} \\ S = 1,1$$

#### 4.2. Naklápení klopy - přitlak klopek.

Tlak je důležitý technologický parametr, který spolu s rychlostí broušení ovlivňuje obrus skla a jakost výbrusu. Při malém měrném tlaku se do místa řezu dodává dostatečné množství chladící kapaliny, obrobek se dobře chladi a od-broušený materiál se snadno odplavuje. Obrus však je pomalý a broušení trvá dlouho.

Největšího obrusu se dosáhne při optimálních tlacích. Je to způsobeno tím, že zvýšeným tlakem dojde k deformaci brousícího kotouče a do řezu se dostane více zrn. Je však nutné zajistit dostatečný přívod kapaliny k chlazení obrobku a k odplavení obroušených částí.

Při vysokých tlacích se chladící kapalina z broušeného místa vytlačí, obrobek se pálí, sklaněné kameny praskají. Ani odbroušený materiál a uvolněná brusná zrna se neodplavují a obrus se snižuje. Neúměrně také stoupá třecí síla v místě styku kamene s brusným kotoučem a tím roste točivý moment potřebný pro pohon brusu.

Pro dosažení kvalitních výbrusů je nutné zajistit, aby se měrný tlak během broušení co nejméně měnil a pohyboval se poblíž optimálního tlaku.

Tento požadavek není u současného brousícího poloautomatu splněn. Kameny jsou přitlačovány tažnou pružinou, která je upevněna mezi klopou a rámem stroje. Síla vyvozená pružinou je dána vztahem

$$F = k \cdot x$$

kde  $k$  ... tuhost pružiny

$x$  ... posunutí

Kameny se vedou do záběru tak, že se přitlačí vypouklou částí až se vybrousí plocha. To znamená, že zatím co protažení pružiny  $x$  a tím i síla na klopy klesá, brusná plocha se zvětšuje. Výsledek je ten, že při začátku broušení je měrný tlak nebezpečně vysoký, kameny se pálí, praskají a poháněcí ústrojí brusu je namáháno nadměrným točivým momentem. Během broušení se v některém místě poměrně rychle

překoná místo optimálního měrného tlaku a přejde se k nízkým tlakům, kde je i malý obrus.

Tento průběh měrného tlaku je nevýhodný jak z hlediska kvality broušení, tak i pro nepříznivé namáhání poháněcího mechanismu. Má-li se zajistit kvalitní výbrus a téměř konstantní průběh točivého momentu a tím i příkonu stroje, je nezbytně nutné stanovit a dodržet takový průběh přítlačné síly, aby bměrný tlak během pracovního cyklu byl konstantní.

#### 4.2.1. Hydraulický obvod pro přítlač klopek.

V současné době je u brousícího poloautomatu vyvozen přítlač klopek jak bylo již dříve uvedeno pružinou. Zvedání a spouštění je provedeno pomocí vačky.

Za použití hydrauliky je možné provádět zvedání, spouštění i přitlačování klopek pomocí jednoho mechanismu - hydraulického válce. Hydraulický válec však musí být pro každou klopku samostatný a pohyb klopek proto nebude přesně synchronní. To však není na závadu.

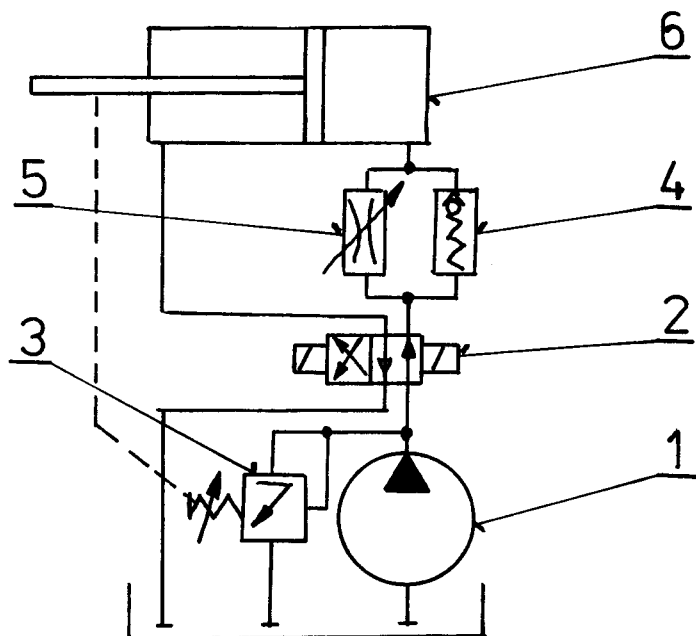
#### H.O. s řízeným přepouštěcím ventilem /obr. 16/.

Obvod se skládá z čerpadla 1, elektromagnetického rozvaděče 2, přepouštěcího ventilu 3, zpětného ventilu 4, škrtícího ventilu 5 a pracovního válce 6. Přepouštěcí ventil je řízen zpětnou vazbou od klopky nebo od pracovního válce.

##### Popis činnosti.

Čerpadlo dodává tlakovou kapalinu přes rozvaděč a škrtící ventil nad píst a jeho prostřednictvím sune klopku do záběru. Přepouštěcí ventil odpouští přebytečnou kapalinu a udržuje v obvodu počáteční nastavený tlak. Pohybem pístu se prostřednictvím zpětné vazby stvrzuje pružina přepouštěcího ventilu, ten odpouští méně kapaliny a zvyšuje tlak v obvodu.

Zpětná vazba může být mechanická, neboť umístění přepouštěcího ventilu na rám stroje nečiní žádné potíže.



Obr. 16. Schéma obvodu.

Výhody obvodu:

- jednoduchost
- čerpadlo může být zubové
- přesné nastavení tlaku
- jednoduché ovládání přepouštěcího ventilu

Nevýhody obvodu:

- zařízení ovládá jen klopky jednoho stroje
- přepouštěcí ventil se dá regulovat až od 0,5 MPa výše, pro malé síly je tedy nutné použít velmi malé válce
- je nutné provést úpravu přepouštěcího ventilu

#### 4.2.2. Návrh H.O. pro přítlak klopek.

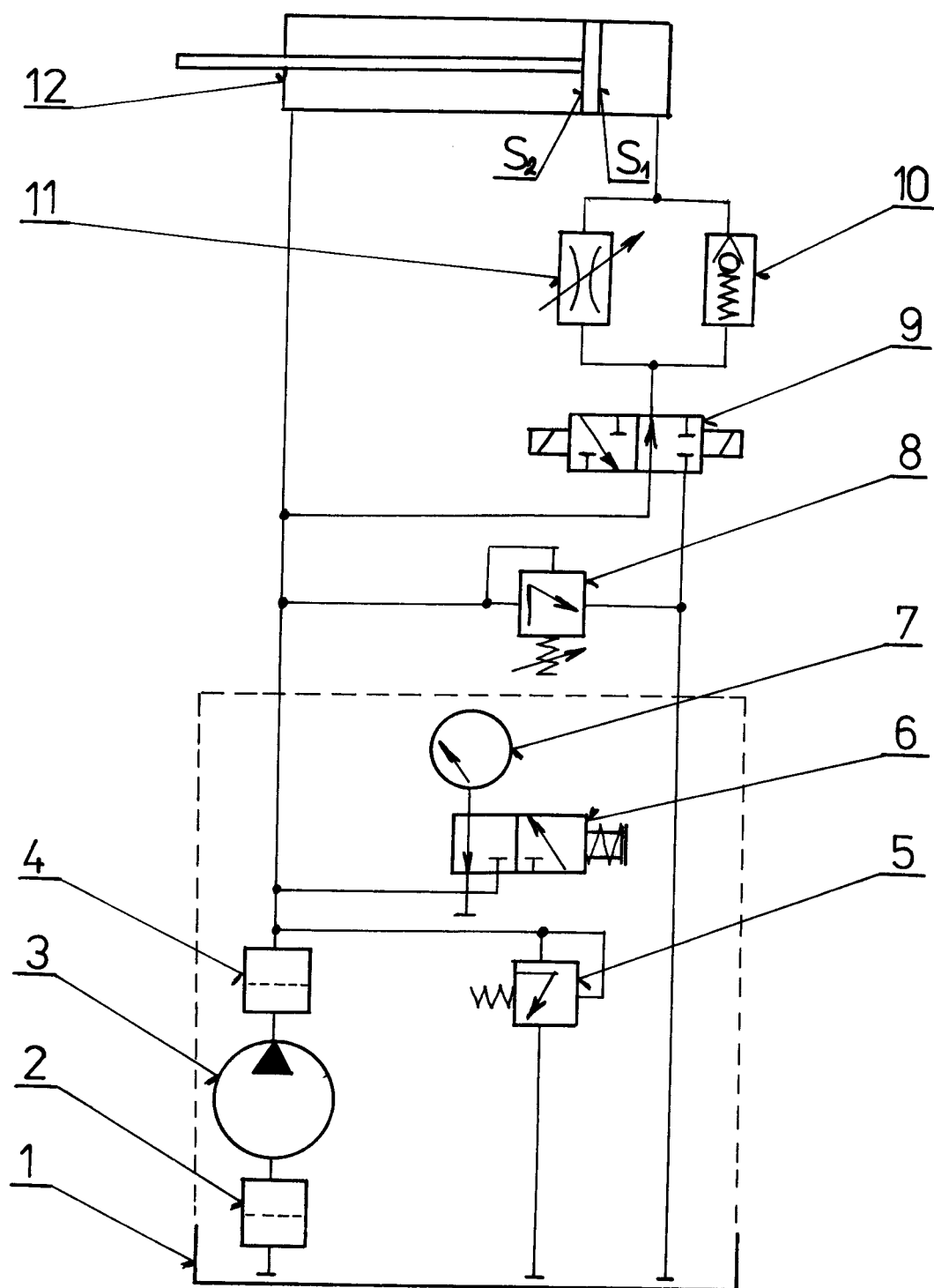
Pro konkrétní konstrukční zpracování byl tedy upraven výše uvedený obvod s řízením tlaku přepouštěcím ventilem. Je to obvod jednoduchý, řízení tlaku je přesné, ani úprava přepouštěcího ventilu není náročná.

Aby bylo možné zachovat poměrně malou sílu na klopce a přitom použít typizovaných válců a posunout tlaky do regulační oblasti přepouštěcího ventilu, bylo použito úpravy obvodu podle obrázku 17.

#### Popis činnosti.

Při sklápění klopy do záběru proudí kapalina jednak pod píst na stranu pístní tyče a jednak nad píst přes rozvaděč a škrtící ventil. Vlivem rozdílu ploch  $S_1$  a  $S_2$  působí nad pístem větší síla, posouvá jej a s ním i klopku. Tímto způsobem je možné vyvodit malou sílu na pístnici i při použití tlaků, které je schopen přepouštěcí ventil spolehlivě regulovat.

Po vybroušení plošky dostane rozvaděč impuls z bloku logických operací a přestaví se do druhé polohy. Tím je tlaková kapalina přiváděna pouze pod píst, prostor nad pístem je spojen s odpadem a klopka se zvedá.



Obr. 17. Schéma H.O.

Typové označení jednotlivých prvků H.O.

- 1 Nádrž o obsahu 40 l
- 2 Sací filtr F 401.Z49
- 3 Čerpadlo JHZJ 6
- 4 Tlakový filtr oleje FBSP 16-12-8
- 5 Přepouštěcí ventil VP 1-10-2
- 6 Kostka manometru provedení I
- 7 Manometr 0-60 N/mm<sup>2</sup>
- 8 Řízený přepouštěcí ventil VP 1-10-2
- 9 Miniaturní elektromagnetický rozvaděč MRPS 2-4204-92A
- 10 Zpětný ventil }  
11 Škrtící ventil } 521 VS 10
- 12 Hydraulický válec JHVJ 25/40

Prvky 1-7 jsou obsaženy v hydraulickém agregátu PA2-40-1

### Hydraulický válec.

Hydraulický válec JHVJ 25/40 je dvoučinný hydraulický motor s přímočarým pohybem a jednostrannou pístní tyčí. Je určen pro použití v hydraulických obvodech do maximálního provozního tlaku 6,3 MPa. Je jednoduchý, nenáročný na údržbu a obsluhu a je možné jej použít i na těžko přístupných místech.

Správná funkce válce a jeho spolehlivost v provozu závisí na čistotě používaného oleje a na dodržování předepsaného tlaku.

#### Určení rozměru válce.

Požadovaná síla, kterou musí vyvodit válec pro přítlač klopy, je  $F_v = 300 \text{ N}$

Protože je tato síla velmi malá, použijeme nejmenší průměr typizovaného válce  $D = 25 \text{ mm}$

Potřebný zdvih válce pro zdvih kamene nad brus  $z_v = 20 \text{ mm}$   
Těmto parametry nejlépe vyhovuje hydraulický válec

JHVJ 25/40. Maximální tlak v obvodu je dán silou  $F_v$ , která působí na rozdíl ploch  $S_1 - S_2$  /obr. 17/. Tento rozdíl je vlastně plocha pístnice  $S_p$ .

$$S_p = \frac{\pi \cdot d^2}{4} = \frac{\pi \cdot 14^2}{4} = 154 \text{ mm}^2$$

Tlak v obvodu je:

$$p = \frac{F_v}{S_p} = \frac{300}{154} = 1,94 \text{ MPa}$$

Minimální tlak v obvodu 0,5 MPa je dán regulačním rozsahem přepouštěcího ventilu.

#### Výpočet objemu kapaliny ve válci.

Největší spotřeba kapaliny bude pro zvedání klopy.  
Objem válce je dán vztahem:

$$V = S_2 \cdot z_v = \frac{\pi}{4} / D^2 - d^2 / \cdot z_v = \frac{\pi}{4} / 25^2 - 14^2 / \cdot 20 = 6738 \text{ mm}^3$$

kde  $d = 14$  je průměr pístnice v mm.

Pro dvě klopy je objem kapaliny :

$$V_2 = 2 \cdot 6738 = 13476 \text{ mm}^3$$

Použité čerpadlo JHZJ 6 dodává množství  $Q = 6 \text{ l/min.}$   
Doba zdvihu klopy bude:

$$= \frac{V_2}{Q} = 0,135 \text{ s}$$

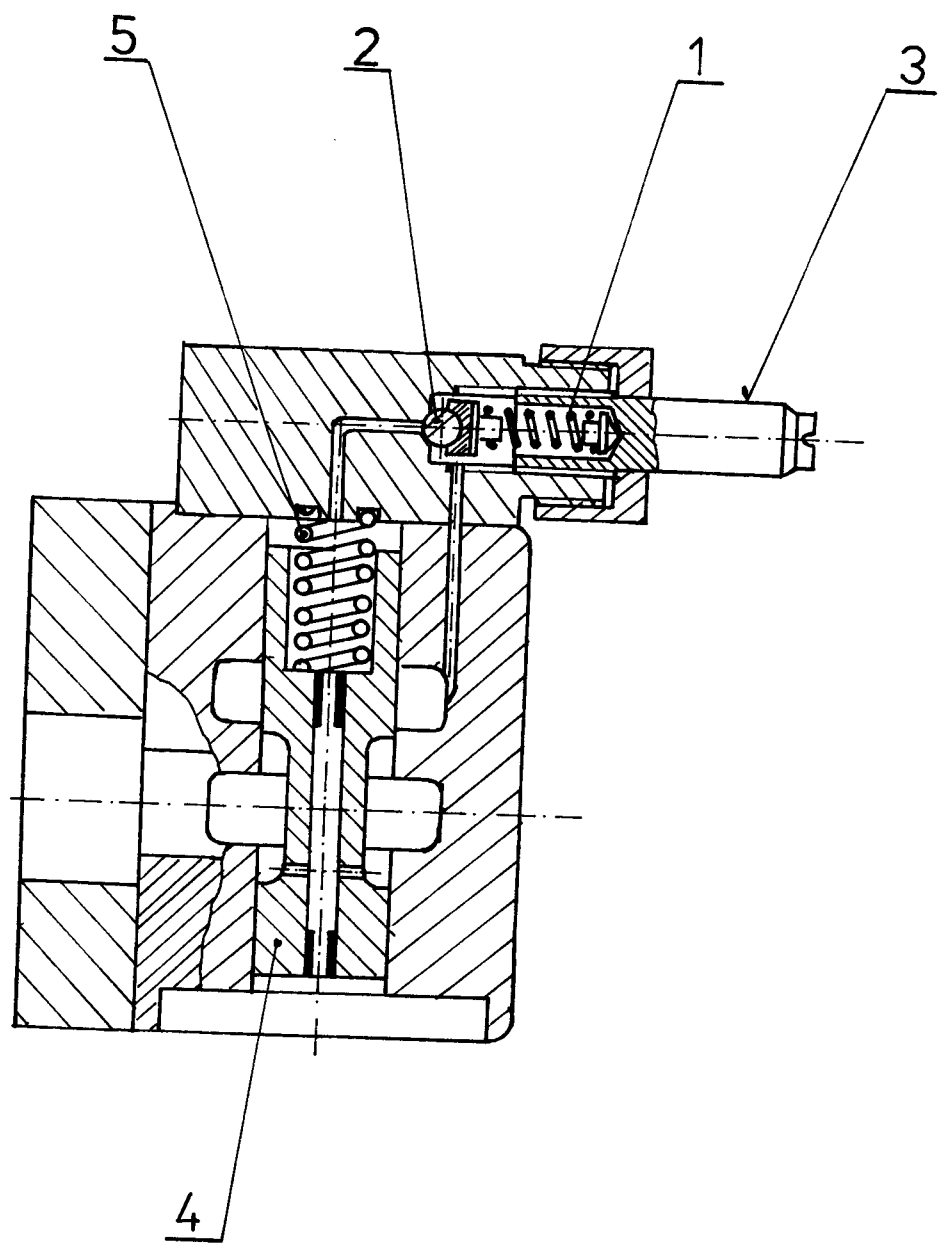
### Přepouštěcí ventil.

Přepouštěcí ventil VP 1-10-2 má jmenovitý průtok 10 l/min. To znamená, že může regulovat tlak v našem obvodu i při max. průtoku. Ventil má rozsah nastavení tlaku 0,5 - 10 MPa. Pro bezporuchový provoz je nutné zajistit filtrace lepší než 30 μm, udržovat provozní teplotu oleje v rozsahu 20 - 60°C.

Přepouštěcí ventily se používají k udržení nastaveného tlaku v obvodu. Jsou odlehčené konstrukce a provedeny tak, že dovolují plynulou regulaci tlaku / obr. 18 /. Tohoto systému se používá proto, že přímo řízený pístkový ventil pro vyšší tlaky by vyšel příliš rozměrný a těžko regulovatelný.

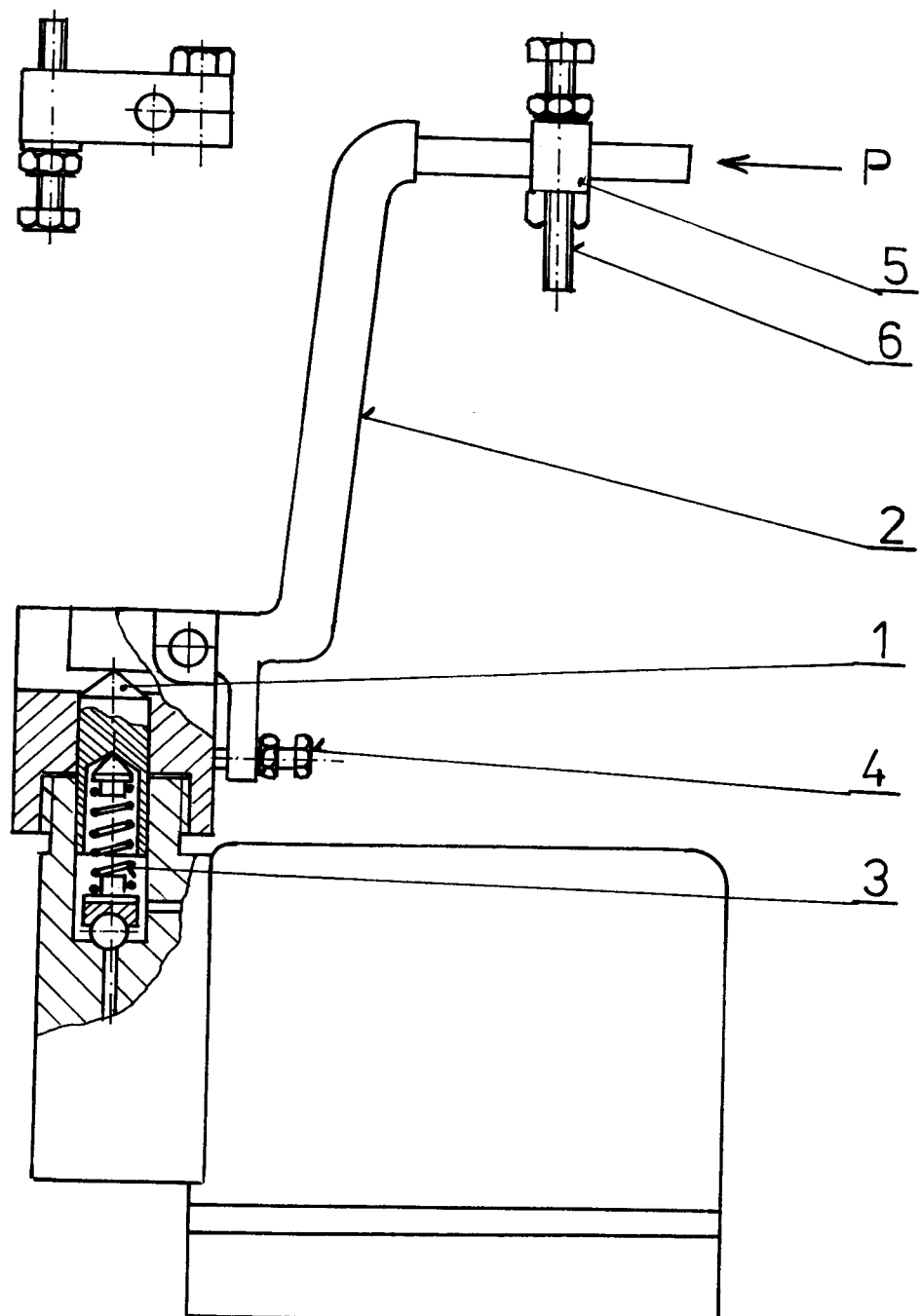
Řídící přepouštěcí ventil je kuličkový, zatím co hlavní přepouštěcí ventil má válcové šoupátko. Tlak v přepouštěcím ventili se řídí změnou zatěžovací síly pružiny 1 působící na kuličku 2 řídícího ventila pomocí šroubu 3. Tlakem kapaliny se kulička nadzdvihne do odpovídající rovnovážné polohy a odpouští malé množství do odpadu. Průtokem kapaliny otvorem v šoupátku 4 vzniká tlakový spád, vyvolávající rozdíl osových sil působících na šoupátko. Šoupátko se zdvihne a otevře odpadní otvor. Výslednou osovou sílu zachycuje pružina 5.

V našem případě je třeba přepouštěcí ventil upravit podle obr. 19. Regulační šroub je nahrazen posuvnou tyčkou 1, jejímž prostřednictvím se pomocí páky 2 stvrzuje pružina 3 v závislosti na posunutí klopy. Regulačním šroubem 4 se nastavuje minimální tlak v obvodu. Posouváním třnenu 5 po páce se mění velokost zdvihu tyčky působící na pružinu. Šroubem 6 je možné nastavit počátek regulace ventilu v závislosti na posunutí klopy.



Obr. 18. Přepouštěcí ventil.

POHLED P



obr. 19 Upravený přepouštěcí ventil

### Elektromagneticky ovládaný rozvaděč.

Miniaturní elektromagneticky ovládané rozvaděče se používají k řízení smyslu průtoku kapaliny. Vyrábějí se v typizované řadě běžně užívaných propojení. Jejich výhodou je možnost zatěžování odpadu, mezinárodní připojovací rozměry, libovolná montážní poloha.

Pro zajištění spolehlivého provozu doporučuje výrobní závod užívat minerální oleje s viskozitou 20 - 400, zařadit do hydraulického obvodu filtraci lepší než 30 m, udržovat teplotu oleje v rozmezí -10 až +60°C, nepoužívat v prostředí s teplotou nad + 40 °C.

V H.O. ovládání klopek je použit miniaturní elektromagneticky ovládaný rozvaděč MRPS 2-4204-92A. Je to dvoupolohový čtyřcestný rozvaděč ovládaný dvěma elektromagnety s aretací. Jeho maximální průtok je 16 l/min, maximální provozní tlak je 25 MPa, ve vývodu T 6,3 MPa.

### Zpětný ventil se škrcením.

Tento prvek, umístěný v jednom tělese, zajišťuje dvě funkce. Jedním směrem propouští kapalinu volně, druhým směrem ji škrtí. Velikost škrcení se nastavuje šroubovací objímkou.

Zpětný ventil se škrcením 521 VS 10 se hodí pro průtoky do 10 l/min. Maximální provozní tlak je 25 MPa.

### Hydraulický agregát.

Hydraulické agregáty se používají jako zdroje tlakové kapaliny. Mají výhodu v tom, že jako samostatné jednotky jsou vybaveny všemi prvky potřebnými pro výrobu tlakové kapaliny. Při navrhování H.O. stačí tedy zvolit takový agregát, který vyhovuje dodávaným množstvím a provozním tlakem.

Hydraulický agregát PA 2-40-1 má jeden tlakový okruh s průtokem 6 l/min při tlaku 4 MPa. Obsah nádrže je 40 l.

### Spojovací potrubí.

Jednotlivé prvky H.O. se navzájem spojují trubkami nebo pryžovými hadicemi. Správné uspořádání a provedení celého systému potrubí ovlivňuje hydraulické odpory, provozní teplotu kapaliny a účinnost celého obvodu.

S ohledem na tlakové ztráty a tuhost musí být potrubí co nejkratší, ohyby se musí provádět s co největším možným poloměrem.

Spojení pomocí armatur musí být dokonalé, těsné, aby jimi neunikala tlaková kapalina a nezvyšovaly se tím ztráty. Spoje musí být přístupné a snadno rozebíratelné.

Nejčastěji se používají ocelové bezešvé trubky. Dále je možno použít trubek měděných, které jsou výhodnější z hlediska montáže, ale způsobují rychlejší oxidaci kapaliny. Rovněž hliníkové trubky jsou výhodné, při montáži se však snadno promačkují.

Ohebné spoje se provádějí vrstvenými pryžovými hadicemi opatřenými kovovou tkaninou. Mají malou tuhost a proto je možné je používat pouze tam, kde snížení tuhosti není na závadu. Tyto hadice musí mít možnost volného pohybu v celém rozsahu zdvihu a naklápění, proto musí být dostatečně dlouhé.

V našem případě je hlavní větev obvodu provedena ocelovými trubkami s navařenými přípojkami. Jednotlivé hydraulické elementy jsou k nim připojeny pryžovými hadicemi.

### Tepelný výpočet H.O.

Pohon čerpadla u hydraulického agregátu PA2-40-1 zajišťuje elektromotor s příkonem 0,75 kW. Jeho potřebný výkon však bude mnohem menší, protože v obvodu se dosahuje jen nízkých tlaků.

Maximální potřebný výkon elektromotoru je:

$$P = \frac{Q \cdot p}{6 \cdot 10^4 \cdot \eta} = \frac{6 \cdot 1,94 \cdot 10^6}{6 \cdot 10^4 \cdot 0,5} = 388 \text{ W}$$

kde  $Q$  .... je průtočné množství čerpadla

$p$  .... je tlak v obvodu

$\eta$  .... je hydraulická účinnost čerpadla

Průměrný výkon, potřebný pro výpočet teploty, bude přibližně poloviční /tj. 194 W/, protože maximální tlak v obvodu 1,94 MPa bude pouze při dobrušování plošky. To trvá pouze několik málo sekund. Ostatní dobu tlak buďto narůstá /při spouštění klopy/, nebo klesá /při zvedání klopy/. Je-li klopa zvednuta, je v obvodu pouze tlak kolem 0,5 MPa, který je dán rozsahem přepouštěcího ventilu a je nastaven seřizovacím šroubem.

Chladící schopnost nádrže o obsahu 40 l je dána její plochou  $S$ , součinitelem přestupu tepla z oleje stěnou do vzduchu a rozdílem teplot mezi olejem a okolím.

Plocha nádrže o rozměrech 515x315x250 mm je  $S = 0,729 \text{ m}^2$ . Teplotní spád v nejnepříznivějším případě je  $t = 30^\circ\text{C}$  při maximální teplotě oleje  $60^\circ\text{C}$  a maximální teplotě okolí  $30^\circ\text{C}$ . Součinitel přestupu tepla  $\alpha = 10 \text{ J} \cdot \text{m}^{-2} \cdot \text{deg}^{-1} \cdot \text{s}^{-1}$ .

Odvedené teplo je:

$$Q = \alpha \cdot S \cdot \Delta t = 10 \cdot 0,729 \cdot 30 = 219 \text{ W}$$

Pokud by se celý průměrný příkon čerpadla  $P = 194 \text{ W}$  zmařil škrcením a změnil v teplo, stačil by se plochou nádrže ochladit. Není proto nutné do obvodu zařazovat chladič.

#### 4.3. Přetáčení facet. Uchycení aparátu.

Konstrukční řešení přetáčení facet vychází z použitého aparátu. Broušené lustrové ověsy mají 8 facet. Šnekový převod 1:8 je konstrukčně proveden v aparátu. Při přetáčení z jedné facety na druhou tedy zbývá vykonat na hřídeli aparátu jednu otáčku, čímž se lustrový ověs přetočí o jednu osminu a tím tedy na druhou facetu. Do broušení facety může být signalizováno buď koncovým spínačem uchyceným na rámu stroje a stlačovaným naklápací klopkou, nebo časovými impulsy z bloku logických operací.

Princip přetáčení facet je tedy následující:

Při dobroušení facety přichází signál z bloku logických operací na elektromagnetický rozvaděč hydraulického válce klopy, je otevřen přívod tlakové kapaliny do válce a válec zvedne klopku ze záběru. Současně přichází signál na elektromagnetický rozvaděč hydraulického válce přetáčecího mechanismu a do tohoto válce je vpuštěna tlaková kapalina. Pístnice se vysune z díry dělicího kotouče a druhým koncem propojí kontakty na stěračový elektromotorek, který začne točit. Následuje přestavení elektromagnetického rozvaděče přetáčecího mechanismu do původní polohy, tlak kapaliny klesá a pístnice je tlačena pružinou válce zpět do dělicího kotouče. Po vykonání jedné otáčky zapadá pístnice opět do díry dělicího kotouče, rozpínají se kontakty elektrického motorku a ten přestává točit. Zároveň je otevřen přívod tlaku kapaliny do hydraulického válce klopy a ten opět přisouvá klopku do záběru.

Tento systém je proveden na výkresu přetáčecího mechanismu /3-DP-053/83-2000/. Přetáčení facet tímto způsobem je přesné a spolehlivé. Doběh stěračového motorku, který je stejnosměrný, seriově zapojený, je prakticky nulový a navíc je přesné přetočení facet aretováno pístnicí hydraulického válce přetáčecího mechanismu.

Uzamykání aparátu v rybině vedení je provedeno pákovým zámkem na nějž působí silou hydraulický válec mechanismu uchycení. Postup při uchycení aparátu je následující: po zasunutí aparátu do rybiny vedení stiskne pracovník tlačítka "počátek broušení" a tím otevře přívod tlakové kapaliny do hydraulického válce, který aparát prostřednictvím zámku uzamkne. Po dobroušení poslední facety a zvednutí klopy ze záběru přichází signál z bloku logických operací. Následuje vypuštění tlakové kapaliny z hydraulického válce mechanismu uchycení a pružina uvnitř válce zvedne zámek do otevřené polohy.

5. Ekonomické zhodnocení.

Navrhovaný způsob předpokládá i určitou změnu v organizaci práce spočívající ve vytvoření přípravného pracoviště jehož úkolem by bylo zajistit vyrovnání zvýšeného časového nároku na obsluhu vlastních brousicích zařízení. Za tohoto předpokladu lze na pracovištích brusičů zachovat dvoustrojovou obsluhu.

Při stanovení časové normy přípravy jednoho aparátu v délce 1,05 minuty by počet přípravných pracovníků činil 4.

Hodnocení nákladové stránky:

Současný způsob broušení: mzdové náklady při denní mzdě 72,49 Kčs na jednoho pracovníka a při počtu 8 pracovníků celkem činí za jeden rok 151.378,33 Kčs.  
Počet zhotovených kusů za rok činí 9 855.360 kusů.  
Z toho náklad na 1000 kusů vyrobených ověsů činí 15,36 Kčs.

Nový způsob broušení:

Mzdové náklady při denní mzdě 72,49 Kčs na jednoho brusiče a počtu 8 brusičů celkem činí za jeden rok 151.378,33 Kčs.

Mzdové náklady při denní mzdě 62,90 Kčs na jednoho pracovníka přípravy a počtu 4 pracovníků celkem činí za jeden rok 65.667,60 Kčs.

Mzdové náklady celkem činí za jeden rok 217.045,93 Kčs.

Objem výroby u nového způsobu broušení činí ročně 19.710.720 kusů. Náklad na 1000 kusů vyrobených ověsů činí 11,01 Kčs. Úspora mzdových nákladů na 1000 kusů ověsů činí 4,35 Kčs. Roční úspora při výrobě 19.710.720 kusů ověsů by činila 85.741,63 Kčs.

Vzhledem k tomu, že jde o úsporu pracovní síly, lze vypočtený objem uspořených prostředků zhodnotit dle směrnice 17/81 FMTIR § 12 odst. 3 koeficientem 1,6 a tedy přepočtená hodnota činí 137.186,61 Kčs.

Z vypočtených hodnot vyplývá, že navržené řešení je pro uživatele ekonomicky výhodné. Dále lze předpokládat i určité nevyčíslitelné přínosy spočívající v tom, že při dvojnásobném nárůstu objemu produkce dojde vytvořením přípravného pracoviště k vyloučení určité části pracovníků ze styku se škodlivým pracovním prostředím.

## 6. Závěr.

Cílem této diplomové práce bylo vypracovat možné řešení pro dvouaparátové broušení lustrových ověšů. Při navrhovaném řešení je možnost víceaparátového broušení limítována kruhovou výsečí, která náleží jedné brousící jednotce při nejmenším průměru brusu. Konstrukčním provedením bylo dosaženo pro jednu brousící jednotku kruhové výseče úhlu  $52^{\circ}$ . Při odkrytí kruhové výseče brusu o středovém úhlu  $104^{\circ}$  je tedy požadavek dvouaparátového broušení splněn. Pro toto dvouaparátové broušení je také proveden ekonomický rozbor. Naskytá se však také možnost tříaparátového broušení. Toto tříaparátové broušení však vyžaduje odkrytí kruhové výseče brusu o středovém úhlu  $156^{\circ}$ . Takové odkrytí brusu by se ale mohlo dostat do rozporu s předpisy o bezpečnosti práce.

Veliké výhody poskytuje také použití hydraulického přítlaku klopek. Hydraulický obvod je zde velmi jednoduchý a levný. Je možné jím nastavit vhodný průběh a velikost přítlačné síly. Jeho použití také odstraňuje nerovnoměrnost chodu brusu a snižuje příkon na brus. Rozhodně však hydraulický přítlač klopek snižuje zmetkovitost, která vzniká pálením a praskáním kamenů.

V popředí zájmu naší socialistické společnosti je především využívání domácí surovinové základny, jak již bylo zdůrazněno na XVI. sjezdu ČV KSČ. Toto platí ve zvýšené míře i ve sklářském a keramickém průmyslu, jehož rozvoji by měla v malé míře napomoci i tato diplomová práce.

Závěrem bych chtěl poděkovat vedoucímu diplomové práce Ing. Jaroslavu Noskovi, CSc. za odborné vedení při řešení této diplomové práce.

Zároveň děkuji konzultantům z k.p. ŽBS v Železném Brodě soudruhům Medkovi a Novákovi, kteří se svými znalostmi podíleli na zdárném dokončení této diplomové práce.

Seznam použité literatury

Götz: Broušení a leštění skla  
SNTL Praha 1963

Skripta: Strojní broušení skleněných kamenů I

Skripta: Strojní broušení skleněných kamenů III

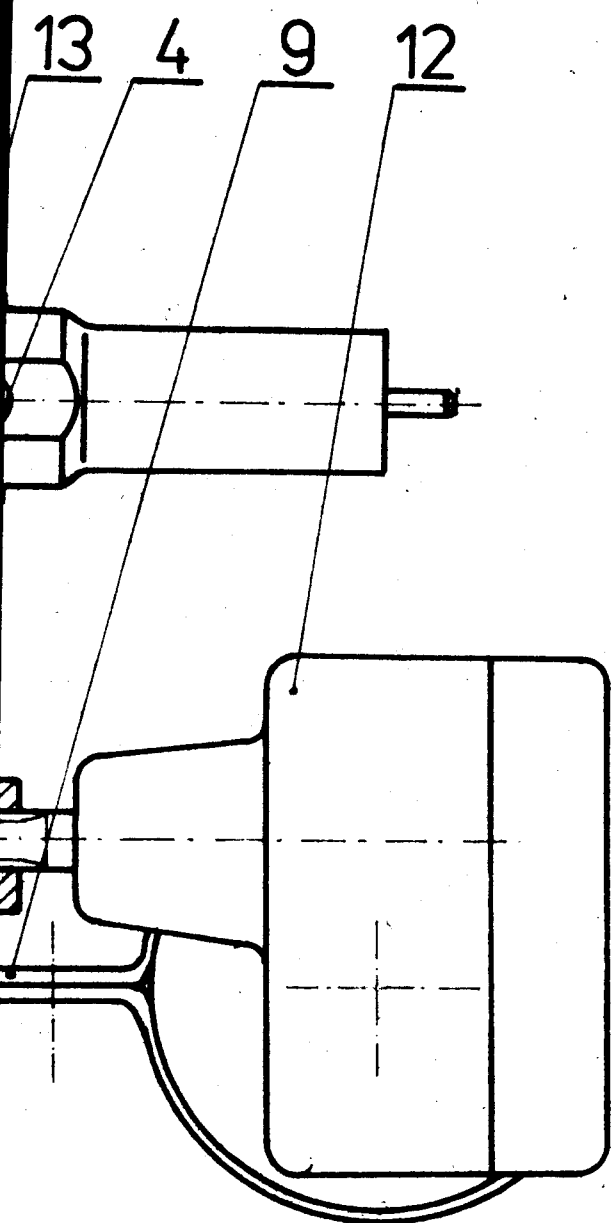
ŽBS: Výkresová dokumentace stávajících brousících zařízení

Medek: Modernizace broušení a leštění lustrových ověsů  
81-10-00

Seznam příloh

Nedílnou součástí této diplomové práce je výkresová dokumentace

0-DP-053/83-0000	Tangenciální broušení lustrových ověsů
1-DP-053/83-0000	Tangenciální broušení lustrových ověsů
3-DP-053/83-2000	Přetáčecí mechanismus
4-DP-053/83-2500	Naklápací mechanismus

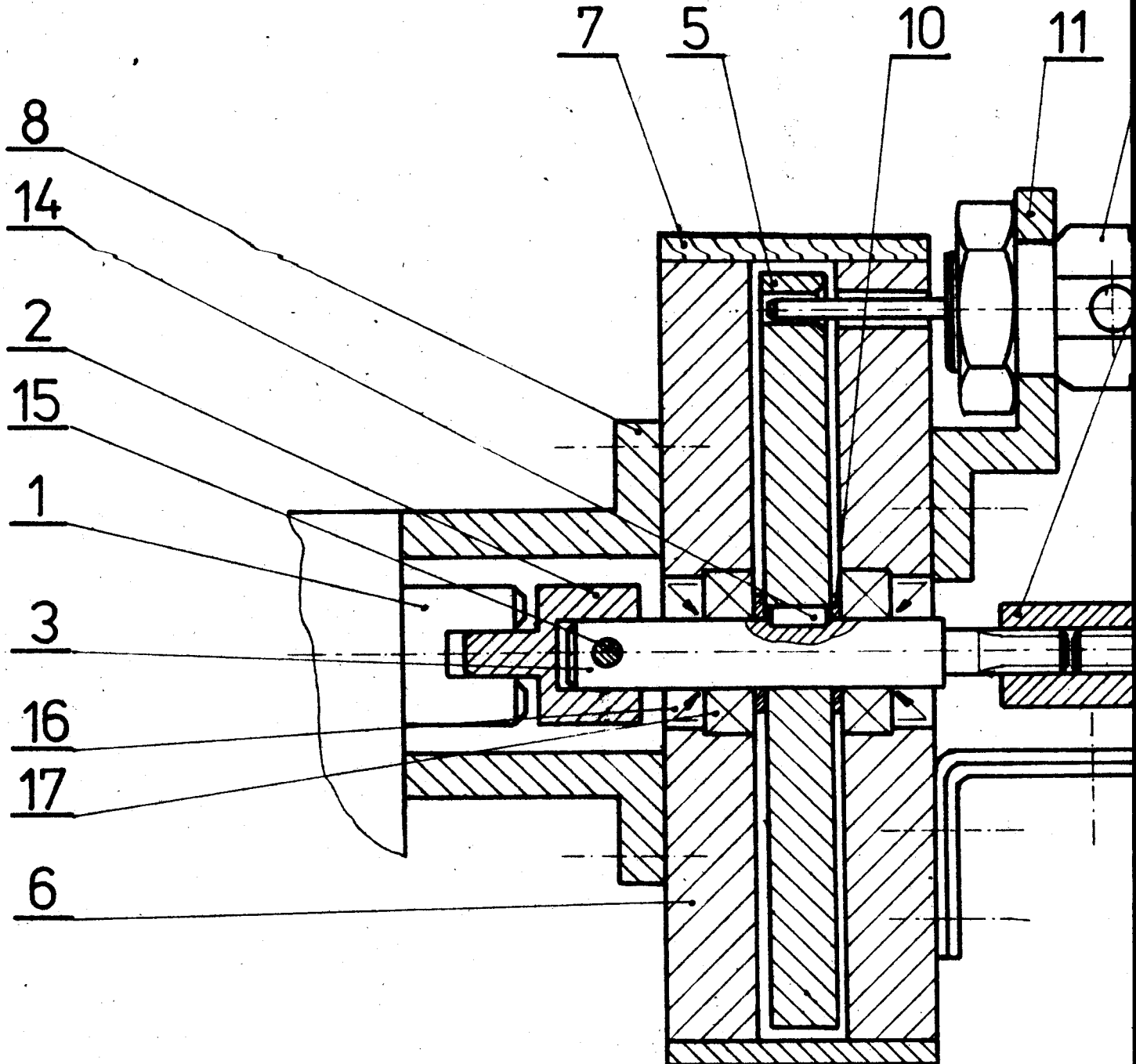


1:1

*Jukelová*

PŘETÁČECÍ  
MECHANISMUS

3-DP-053/83-2000



Eckelsky

## TANGENCIÁLNÍ BROUŠENÍ LUSTROVÝCH OVĚSŮ

0-DP-053/83-0000

August 1967

Kód	Název - Rozměr	Počet	Mat. koncový	Mat. výchozí	Típus Odp.	Č. ráho	H. ráho	Cíl. výkresu	Pos.
1	Vedení aparátu								1
2	Tyč Ø 20-490								2
2	Objímka								3
1	Rám								4
2	Držák								5
2	Pružina Ø 24-2								6
2	Váčka								7
1	Hřídel Ø 20-690								8
2	Těleso S 612	ČSN 024811							9
2	Ložisko 6304	ČSN 024637							10
2	Ložisko 625	ČSN 024634							11
1	Tyč plochá 40x12	ČSN 426522							12
1	Hydromotor	MRAK 6-16							13
2	Řemenice Ø 45								14
1	Ozubený řemen	272213013							15
2	Prac. válec Ø 22								16
1	Válec	JHVJ 23/40							17
1	Válec	HV 8							18
1	El.motor	PAL 443.122							19
2	Přetáčecí mech.								20
1	Příruba								21
1	Spojka								22
1	Držák								23
1	Objímka								24
2	Čep 16x60								25
2	Čep 5x30								26
1	Pás 15x5-200								27
2	Zámk.								28
1	Tyč plochá 40x12	ČSN 426522							29

*Sekelsky*

*Sekelsky*

*Brno*

*Starý Jižní*

*Brno*

*X*

*Y*

*Z*

*Středisko  
pro výrobu  
a opravu strojů*

**TANGENCIÁLNÍ BROUŠENÍ  
LUSTROVÝCH OVĚSŮ**

**0-DP-053/83-0000**

*Brno*

Pořad. číslo	Název - Rozměr	Pohybov.	Mat. konečný	Mat. výchozí	Přílož. číslo	Č. ráhu	H. ráhu	Cíle výkresu	Pos.
1	Aparát								1
1	Spojka								2
1	Hřídel ø 12-85								3
1	Spojka								4
1	Dél.kotouč ø130								5
2	Kotouč ø 135								6
1	Těleso								7
1	Příruba								8
1	Objímka								9
2	Kroužek								10
1	Držák								11
1	El. motor	PAL 443122							12
1	Válec	HV 8							13
1	Pero 4x4x10	ČSN 022562							14
1	Kolík 5x30								15
2	Kroužek 12x25x7	ÚN 029401							16
2	Ložisko 6001	ČSN 24633							17

*Zebelský*

*Soubor*

*č. 1*

*Dokl.*

**TYPE**  
**Název**  
**PŘETÁČECÍ MECHANISMUS**

**3-DP-053/83-2000**

**Systém řízení stroje**

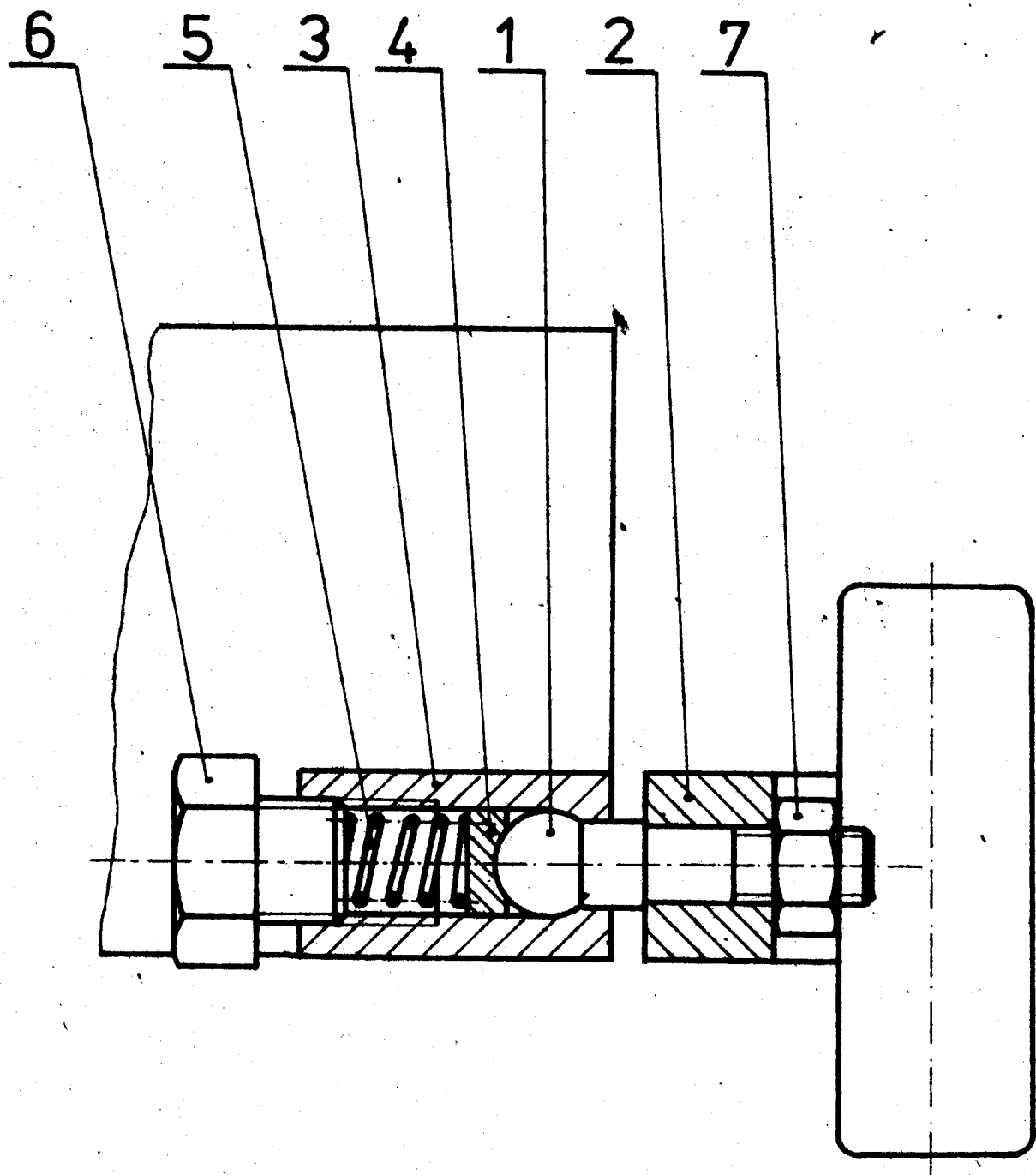
**Autent. Není**

Gekelsky

卷之三

## NAKLÁPĚCÍ MECHANISMUS

4-DP-053/83-2500



*Sekretář*

1:1

NAKLÁPĚCÍ  
MECHANISMUS

4-DP-053/83-2500